

# Регуляризация дискретной схемы для плоской задачи об эволюции границы раздела различных жидкостей\*

Д. Н. Никольский

Орловский государственный университет, Россия

e-mail: nikolskydn@mail.ru

Для численного решения задачи об эволюции границы раздела различных жидкостей построена регуляризованная дискретная схема. Регуляризация проводится методом сглаживания ядра сингулярного интеграла, входящего в дифференциальное уравнение подвижной границы. Схема апробирована на конкретных задачах.

*Ключевые слова:* регуляризация сингулярного интеграла, эволюция границы раздела жидкостей, совместная фильтрация различных жидкостей.

## 1. Основная система интегрального и дифференциального уравнений

В работе [1] показано, что решение задачи об эволюции границы  $\Gamma_t$  раздела жидкостей различных вязкостей ( $\mu_1$  вне и  $\mu_2$  внутри) в однородной безграничной пористой среде состоит в совместном решении уравнений

$$\Delta\varphi = 0 \quad \text{в} \quad R^2 \setminus \Gamma_t, \quad (1)$$

$$d\mathbf{r}/dt = \mathbf{v}_0 + (\mathbf{v}^+ + \mathbf{v}^-)/2 \quad \text{на} \quad \Gamma_t \quad (2)$$

при граничных условиях

$$\mu_1\varphi^+ = \mu_2\varphi^-, \quad v_n^+ = v_n^- \quad \text{на} \quad \Gamma_t, \quad (3)$$

$$\varphi_* \rightarrow 0 \quad \text{при} \quad r \rightarrow \infty \quad (4)$$

и начальном условии

$$\mathbf{r} = \mathbf{r}_0(\theta) \quad \text{при} \quad t = 0, \quad \theta \text{ — некоторый параметр.} \quad (5)$$

Здесь  $\varphi$  — потенциал скорости фильтрации  $\mathbf{v}$ ;  $\mathbf{r}$  — радиус-вектор;  $t$  — время; знаками “+” и “−” обозначены предельные значения соответствующих функций при подходе к границе  $\Gamma_t$  против и вдоль нормали  $\mathbf{n}$ ;  $\varphi_*$  — потенциал скорости возмущения, вызванного внесением границы раздела жидкостей  $\Gamma_t$  в область протекания процесса. Выражения (1)–(5) записаны в безразмерных величинах.

Используя потенциал двойного слоя, решение задачи (1) и (2) при условиях (3)–(5) сводится к системе интегрального и дифференциального уравнений:

$$g - 2\lambda G_* g = 2\lambda\varphi_0, \quad d\mathbf{r}/dt = \mathbf{v}_0 + \nabla G_* g \quad \text{на} \quad \Gamma_t, \quad (6)$$

---

\*Работа выполнена при финансовой поддержке Президента РФ (проект МК-491.2008.1).

© ИВТ СО РАН, 2010.

где  $G_* g = \int_{\Gamma_t} g(N, t) \Omega(M, N) d\Gamma_t$  — потенциал двойного слоя плотности  $g$ ;  $\Omega = (\mathbf{F}, \mathbf{n}_N)$ ;  $\mathbf{F} = \nabla_N \Phi(M, N)$ ;  $\Phi$  — потенциал нормированного стока, мощность которого равна  $-1$ ;  $\varphi_0$  — потенциал скорости  $\mathbf{v}_0$  невозмущенного течения, параметр  $\lambda = (\mu_2 - \mu_1)/(\mu_1 + \mu_2)$ .

В каждый момент времени  $t_j$ ,  $j = \overline{0, J}$  разобьем границу  $\Gamma_{t_j}$  на  $n$  частей и получим множество точек  $\{\mathbf{r}_m^j | m = \overline{0, n-1}\}$ . Элементы этого множества при  $t = 0$  вычисляются по формуле (5). Методом дискретных вихревых пар выполним дискретизацию основной системы (6) [1], в результате получим итерационную последовательность для системы линейных алгебраических уравнений (СЛАУ) и выражение для вычисления элементарных смещений частиц границы раздела жидкостей:

$$\begin{aligned} g_{m+1/2}^{ji} &= Ag_{m+1/2}^{j,i-1} + f_{m+1/2}^j, \quad f_{m+1/2}^j = 2\lambda\tau\varphi_0^j|_{m+1/2}, \\ Ag_{m+1/2}^{j,i-1} &= 2\lambda\tau \sum_{\substack{k=0 \\ k \neq m}}^{n-1} g_{k+1/2}^{ji} \left( \mathbf{F}_{m+1/2, k+1/2}^j, \mathbf{n}_{k+1/2}^j \right) \Delta l_{k+1/2}^j + (1-\tau)g_{m+1/2}^{ji}, \\ \Delta \mathbf{r}_m^j / \Delta t_j &= \mathbf{v}_{0m}^j + \sum_{\substack{k=0 \\ k \neq m}}^{n-1} g_{k+1/2}^j \left( \mathbf{V}_{\varepsilon mk}^j - \mathbf{V}_{\varepsilon m, k+1}^j \right), \quad \mathbf{r}_m^0 = \mathbf{r}_0(\theta_m), \\ j &= \overline{0, J}, \quad m = \overline{0, n-1}, \quad i = \overline{1, I}, \end{aligned} \tag{7}$$

где  $\mathbf{n}_{k+1/2}^j = T\ell_{k+1/2}^j / \Delta l_{k+1/2}^j$ ;  $T = \begin{pmatrix} 0 & -1 \\ 1 & 0 \end{pmatrix}$  — матрица поворота на  $90^\circ$  против часовой стрелки (единичные векторы касательной и нормали образуют правую двойку);  $\Delta l_{k+1/2}^j = |\ell_{k+1/2}^j|$ ,  $\ell_{k+1/2}^j = \mathbf{r}_{k+1}^j - \mathbf{r}_k^j$ ,  $\mathbf{r}_{k+1/2}^j = (\mathbf{r}_k^j + \mathbf{r}_{k+1}^j)/2$ , причем  $\mathbf{r}_n^j = \mathbf{r}_0^j$ ;  $I$  — число итераций для решения СЛАУ, которое определяется из условия  $\|g^I - g^{I-1}\| \leq (1 - \|A\|)/\|A\|\epsilon$ ,  $\epsilon$  — заданная точность;  $\mathbf{V}_{\varepsilon mk} = \Theta_\varepsilon \mathbf{V}_{mk}$ ,  $\Theta_\varepsilon(r) = \Theta_1(r/r_\varepsilon)$  — сглаживающая функция [2], удовлетворяющая следующим условиям:  $\Theta_1(0) = \Theta'_1(0) = \Theta''_1(0) = 0$ ,  $\Theta'''_1(r) < Cr^2$  для  $\forall r \in [0, \infty)$ ,  $r_\varepsilon$  — эффективный радиус вихря,  $C$  — константа,  $\Theta'''_1(r) = 1$  при  $r \geq 1$ ;  $\Delta \mathbf{r}_m^j = \mathbf{r}_m^{j+1} - \mathbf{r}_m^j$ ;  $\Delta t_j = t_{j+1} - t_j$ ;  $\mathbf{V}$  — скорость нормированного вихря с циркуляцией, равной  $-1$ ;  $\tau$  — параметр, подбираемый экспериментально, обеспечивающий выполнение необходимого и достаточного условия сходимости итерационной последовательности  $g^i$ ,  $i = \overline{1, I}$  из (7):  $\rho(A) < 1$  [3], здесь  $\rho(A)$  — спектральный радиус матрицы  $A$ .

Схема (7) отличается от ранее исследованных дискретных схем наличием сглаживающей функции  $\Theta$  и методикой смещения частиц границы: вследствие регуляризации скорости вихря каждый отрезок  $\mathbf{r}_{m,m+1}$  смещается за его концы, а не за центр. Ниже рассмотрены практические задачи, в которых применение данной дискретной схемы позволяет произвести расчет. Для численных расчетов использовался один из возможных вариантов сглаживающей функции  $\Theta_\varepsilon = (63(r/r_\varepsilon)^5 - 90(r/r_\varepsilon)^7 + 35(r/r_\varepsilon)^9)/8$  при  $r \leq r_\varepsilon$ .

## 2. Эволюция в поступательном потоке

Рассмотрим эволюцию границы  $\Gamma_t$  раздела различных жидкостей, представляющей собой в начальный момент времени  $t = 0$  окружность радиуса  $R$  с центром в точке  $(x_c, y_c)$

выбранной декартовой системы координат  $xOy$ . Движение границы раздела происходит под действием поступательного потока, скорость которого на бесконечности равна  $u\mathbf{e}_x$ . Так как область протекания процесса безгранична, функции  $\varphi_0$ ,  $\mathbf{v}_0$ ,  $\mathbf{F}$  и  $\mathbf{V}$  из дискретной схемы (7) примут вид [4]

$$\varphi_0 = ux, \quad \mathbf{v}_0 = u\mathbf{e}_x, \quad \mathbf{F} = (2\pi)^{-1}\mathbf{r}_{NM}/r_{NM}^2, \quad \mathbf{V} = (2\pi)^{-1}\mathbf{r}_{NM}/r_{NM}^2.$$

В начальный момент времени  $t = 0$  можно точно вычислить скорость смещения частиц границы  $\Gamma_0$ . Действительно, применяя теорему об окружности [4], получим потенциалы, описывающие течение вне и внутри окружности:

$$\varphi_1 = (1 + \lambda R^2/(x^2 + y^2))ux, \quad \varphi_2 = (1 - \lambda)ux. \quad (8)$$

Непосредственной подстановкой убеждаемся, что потенциалы (8) удовлетворяют уравнению Лапласа (1) и граничным условиям (3).

После дифференцирования (8) получим точное значение скорости смещения частиц границы  $\Gamma_0$ :

$$\mathbf{v}_a = (1 - \lambda x^2/R^2)u\mathbf{e}_x - \lambda ux y/R^2 \mathbf{e}_y \quad \text{на } \Gamma_0. \quad (9)$$

Множество точек, моделирующее окружность  $\Gamma_0$ , получим, используя ее параметрические уравнения:

$$\begin{aligned} x_m^0 &= x_c + R \cos t_m, \quad y_m^0 = y_c + R \sin t_m, \quad m = \overline{0, n-1}, \\ t &= \{\pi(m/c)^p \mid m = \overline{0, c-1}\} \cup \{-\pi(m/c)^p \mid m = \overline{c-1, 0}\}, \quad c = n/2. \end{aligned} \quad (10)$$

Здесь параметр  $p$  характеризует неравномерность разбиения окружности. При  $p = 1$  и  $p \neq 1$  имеем систему точек, разбивающую окружность  $\Gamma_0$  соответственно на равные и неравные по длине части.

Введем погрешность  $\eta_n = |1 - v/v_a| \cdot 100\%$ , где  $v$  — модуль скорости смещения частиц границы  $\Gamma_0$ , полученный численно из системы (7),  $v_a$  — модуль вектора скорости, вычисленный по точной формуле (9). Для определенности выберем  $R = 1$ ,  $u = 1$ ,  $\lambda = 0.5$ ,  $x_c = 0$  и  $y_c = 0$ .

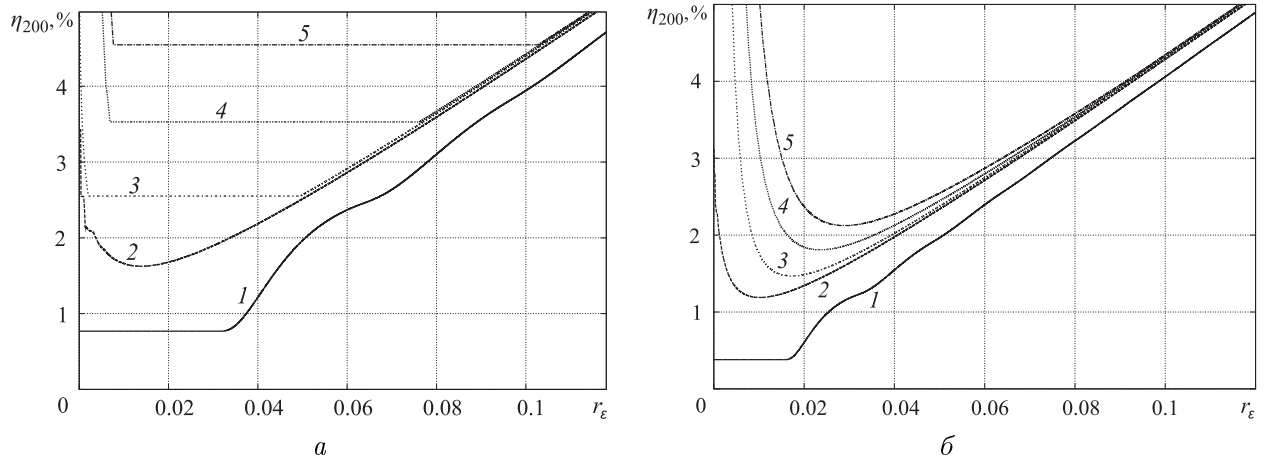


Рис. 1. Зависимость погрешности  $\eta_{200}$  (а) и  $\eta_{400}$  (б) от радиуса вихря  $r_\varepsilon$ ;  $p = 1$  (1), 2 (2), 3 (3), 4 (4), 5 (5)

На рис. 1 представлены зависимости погрешности вычислений  $\eta_n$  от радиуса вихря  $r_\varepsilon$  для  $n = 200$  и  $n = 400$ . Анализируя рисунки, видим, что при разбиении границы раздела жидкостей  $\Gamma_t$  на неравные по длине части результаты численных расчетов имеют большую погрешность. Однако эта погрешность может быть устранена путем использования сглаживающей функции  $\Theta_\varepsilon$  из (7) и подбора оптимального значения радиуса вихря  $r_\varepsilon$ .

В табл. 1 представлена зависимость погрешности  $\eta_n$  от степени неравномерности разбиения окружности  $p$  при оптимальном значении радиуса вихря  $r_\varepsilon$  для числа точек разбиения  $n = 200, 400, 600, 800$ . Видно, что с увеличением  $n$  при оптимальном значении эффективного радиуса вихря  $r_\varepsilon$  погрешность численного решения задачи уменьшается при  $p = 1$  и 2 для всех  $n$ , а при  $p = 3, 4$  и 5 для  $n = 200$  и 400.

На рис. 2 показаны положения границы раздела жидкостей  $\Gamma_t$  при  $t = 1.8$  для случаев  $r_\varepsilon = 0$  (без сглаживания) и  $r_\varepsilon = 0.064$  (со сглаживанием). В начальный момент времени множество точек границы раздела жидкостей  $\Gamma_0$  было получено из (10) при  $p = 1$ , т. е. при  $t = 0$  точки разбивали границу раздела жидкостей на равные по длине дуги части. Затем, с течением времени, в силу касательных смещений частиц границы это множество стало образовывать неравные по длине отрезки, что при  $r_\varepsilon = 0$  привело к неустойчивым численным расчетам и не физическому разрыву границы раздела жидкостей (рис. 2, a).

Т а б л и ц а 1. Погрешность  $\eta_n$  при оптимальном значении радиуса вихря  $r_\varepsilon$

$p$	1	2	3	4	5
$r_\varepsilon 200$	0	0.0137	0.0021	0.0069	0.0077
$\eta_{200, \%}$	0.7682	1.6253	2.5511	3.5296	4.5476
$r_\varepsilon 400$	0	0.0102	0.017	0.0227	0.0028
$\eta_{400, \%}$	0.3796	1.1885	1.4668	1.8086	2.1244
$r_\varepsilon 600$	0	0.0082	0.0204	0.0291	0.0330
$\eta_{600, \%}$	0.2520	0.9601	1.5486	1.9858	2.2762
$r_\varepsilon 800$	0	0.0071	0.0234	0.0306	0.0357
$\eta_{800, \%}$	0.1886	0.8179	1.6049	2.0945	2.3675

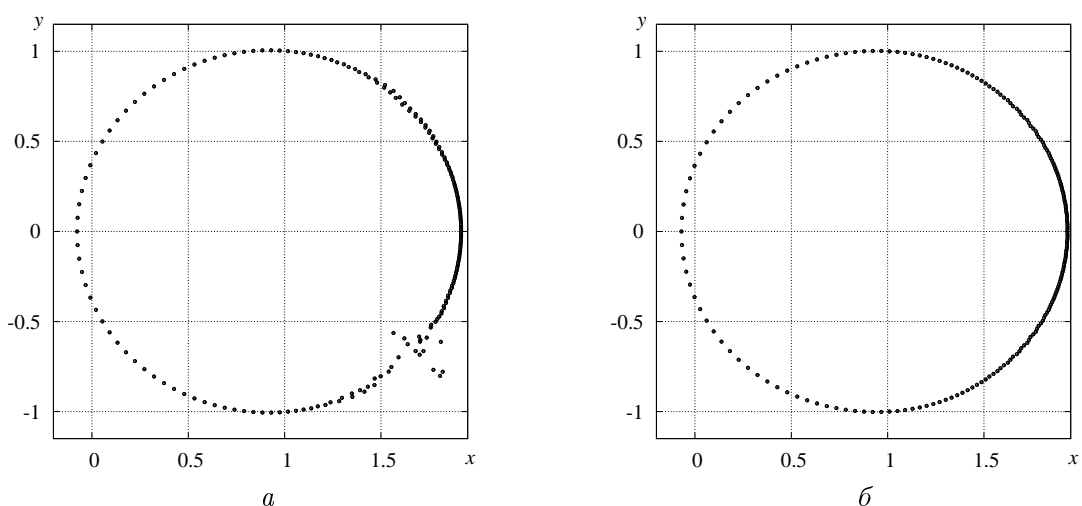


Рис. 2. Граница раздела жидкостей при  $r_\varepsilon = 0$  (a) и  $r_\varepsilon = 0.064$  (б)

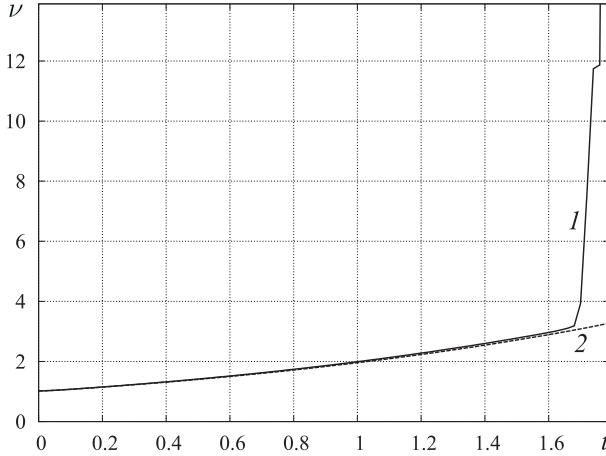


Рис. 3. Изменение числа обусловленности  $\nu$  с течением времени  $t$ ;  $r_\varepsilon = 0$  (1),  $0.064$  (2)

Для наглядности выбрано  $n = 200$ . Оптимальное значение параметра  $\tau = 0.8$ . На каждом временном шаге для решения СЛАУ из системы (7) с точностью  $\epsilon = 10^{-6}$  выполнялось 13–14 итераций. Расчет для случая  $r_\varepsilon = 0$  был выполнен с приближенным условием остановки итерационного процесса из (7):  $\|g^I - g^{I-1}\| < \epsilon$ .

На рис. 3 показано изменение числа обусловленности  $\nu$  матрицы СЛАУ из (7) с течением времени  $t$ . Линия 1 на рисунке соответствует расчету без сглаживания при  $r_\varepsilon = 0$ , линия 2 — расчету со сглаживанием при  $r_\varepsilon = 0.064$ . Видно, что при достижении некоторой степени неравномерности, в случае, когда сглаживание не выполняется, число обусловленности  $\nu$  резко возрастает. Последнее не позволяет считать результаты расчетов достоверными и объясняет отсутствие физического смысла у результатов расчета, представленных на рис. 2, а. Применение регуляризации позволило избежать резкого возрастания числа обусловленности  $\nu$  и неустойчивости численного счета. Аналогичные выводы при исследовании задачи Лейбензона получены в [5].

Отметим, что согласно (8) скорость движения частиц жидкости, находящихся внутри границы раздела жидкостей, постоянна и равна  $\mathbf{v}_2 = (1 - \lambda)u\mathbf{e}_x$ . В исследованной задаче модуль средней скорости движения частицы жидкости, имеющей в начальный момент времени координату  $(0, 1)$ , равен 0.513 и превышает  $v_2 = 0.5$  на несколько процентов, что согласуется с данными [6].

### 3. Эволюция к стоку

Центр первоначальной окружности  $\Gamma_0$  радиуса  $R$  поместим в точке  $(a, 0)$ . Невозмущенное течение моделируем стоком, расположенным в начале координат. Его потенциал  $\varphi_0$  и скорость  $\mathbf{v}_0$  равны

$$\varphi_0 = q(2\pi)^{-1} \ln r_M, \quad \mathbf{v}_0 = q(2\pi)^{-1} \mathbf{r}_M / r_M^2,$$

где  $q$  — дебит скважины (соответствует стоку при  $q < 0$ ).

При параметре  $\lambda = 1$  задача об эволюции стока к окружности имеет точное решение в виде отображения единичного круга с центром в точке  $(a, 0)$  на область, занятую жидкостью в момент времени  $t$  [7]:

$$f_t(\zeta) = \beta_t \zeta / (1 - \alpha_t \zeta) + \gamma_t \zeta, \quad (11)$$

причем коэффициенты  $\alpha_t$ ,  $\beta_t$  и  $\gamma_t$  определяются системой уравнений

$$\begin{aligned} (R^2 - qt/\pi)^2 w^3 - (2a^2 R^2 + 2a^2 qt/\pi + a^4) w + 2a^4 &= 0, \quad \alpha_t = \pm\sqrt{w}, \\ \beta_t &= (1 - \alpha_t^2) (a/\alpha_t + \alpha_t/a (R^2 - qt/\pi)) / 2, \\ \gamma_t &= (a/\alpha_t - \alpha_t/a (R^2 - qt/\pi)) / 2. \end{aligned} \quad (12)$$

Полагаем  $R = 1$ ,  $a = 0.5$ ,  $q = -\pi$ ,  $t = 0.1$ . Численно решая систему (12), получим параметры  $\alpha_{0.1} = 0.56991$ ,  $\beta_{0.1} = 0.71947$ ,  $\gamma_{0.1} = -0.18824$ . При решении кубического уравнения был выбран корень, имеющий физический смысл. Подставляя найденные параметры в (11), находим координаты частицы, смещающейся вдоль направления прорыва воды в скважину в момент времени  $t_a = 0.1 - (-0.27004, 0.0)$ .

Определим время достижения границей раздела жидкостей  $\Gamma_t$  точки  $(-0.27004, 0.0)$  численно путем решения системы (7) при  $\lambda = 1$ . Первоначальную границу раздела жидкостей  $\Gamma_0$  моделируем системой точек, вычисленной из (10) при  $x_c = 0.5$  и  $y_c = 0.0$ . В табл. 2 приведена зависимость величины  $\eta_n = |1 - t/t_a|100\%$  от неравномерности разбиения первоначальной окружности  $p$ . При подборе  $r_\varepsilon$  выполнялся визуальный контроль за границей раздела жидкостей. При этом значения  $r_\varepsilon$ , соответствующие деформации границы раздела жидкостей, не имеющие физического смысла и не совпадающие с аналитическим решением, были отброшены.

Анализируя табл. 2, видим, что при разбиении начальной границы раздела жидкостей на равные по длине части ( $p = 1$ ) регуляризация для исследуемой задачи не требуется и численное решение сходится к точному с ростом числа  $n$ , при разбиении

Т а б л и ц а 2. Влияние неравномерности разбиения на погрешность  $\eta_n$  при  $dt = 0.002$  и  $0.001$

$p$	1	2	3
$dt = 0.002$			
$r_\varepsilon 200$	0	0.038	0.036
$\eta_{200, \%}$	3.7223	5.1999	5.1855
$r_\varepsilon 400$	0	0.030	0.031
$\eta_{400, \%}$	2.9215	4.4799	4.5013
$r_\varepsilon 600$	0	0.028	0.028
$\eta_{600, \%}$	2.2861	4.4199	4.4509
$r_\varepsilon 800$	0	0.026	0.028
$\eta_{800, \%}$	1.6953	4.3746	4.4307
$dt = 0.001$			
$r_\varepsilon 200$	0	0.037	0.036
$\eta_{200, \%}$	3.58345	5.0499	5.0468
$r_\varepsilon 400$	0	0.030	0.031
$\eta_{400, \%}$	2.23943	4.3413	4.3626
$r_\varepsilon 600$	0	0.028	0.028
$\eta_{600, \%}$	1.87199	4.0107	4.3047
$r_\varepsilon 800$	0	0.026	0.028
$\eta_{800, \%}$	1.55051	3.9655	4.2922

на неравные по длине части регуляризация необходима и позволяет добиться практической сходимости численного решения к точному.

Из проведенных вычислительных экспериментов следует, что при численном решении задач об эволюции границы раздела различных жидкостей методом дискретных особенностей в случае разбиения подвижной границы на неравные по длине части в силу отсутствия в дискретной схеме механизмов саморегуляризации возникает и быстро нарастает численная неустойчивость, приводящая к результатам, не имеющим физического смысла. Эта численная неустойчивость устраняется методом сглаживания ядра сингулярного интеграла в дифференциальном уравнении движения границы раздела жидкостей. Необходимость сглаживания, а также ее параметры (в нашем случае вид функции  $\Theta_\varepsilon$  и радиус вихря  $r_\varepsilon$ ) предлагается устанавливать в ходе численного эксперимента путем визуального наблюдения за подвижной границей и контроля характеристик дискретной схемы (7), например, числа обусловленности СЛАУ.

## Список литературы

- [1] Никольский Д.Н. К вопросу построения дискретной схемы для плоской задачи эволюции границы раздела различных жидкостей // Вычисл. технологии. 2008. Т. 14, № 4. С. 89–94.
- [2] Кирякин В.Ю., Сетуха А.В. О сходимости вихревого численного метода решения трехмерного уравнения Эйлера в лагранжевых координатах // Дифференц. уравнения. 2007. Т. 43, № 9. С. 1263–1276.
- [3] Формалев В.Ф., Ревизников Д.Л. Численные методы. М.: Физматлит, 2006. 400 с.
- [4] Голубева О.В. Курс механики сплошных сред. М.: Наука, 1971. 368 с.
- [5] Никольский Д.Н., Дорофеева В.И. Исследование дискретных схем для задачи об эволюции границы раздела жидкостей в постановке Лейбензона // Сб. Междунар. школы-семинара “МДОЗМФ-2008”. Вып. 6. Орел: Картуш, 2008. С. 73–77.
- [6] Воинов В.В. О точных решениях задачи движения границы раздела несмешивающихся жидкостей в пористой среде // Прикл. механика и техн. физика. 1991. № 1. С. 68–71.
- [7] Варченко А.Н., Этингоф П.И. Почему граница круглой капли превращается в инверсный образ эллипса. М.: Наука, 1995. 80 с.

*Поступила в редакцию 20 апреля 2009 г.,  
в переработанном виде – 18 августа 2009 г.*